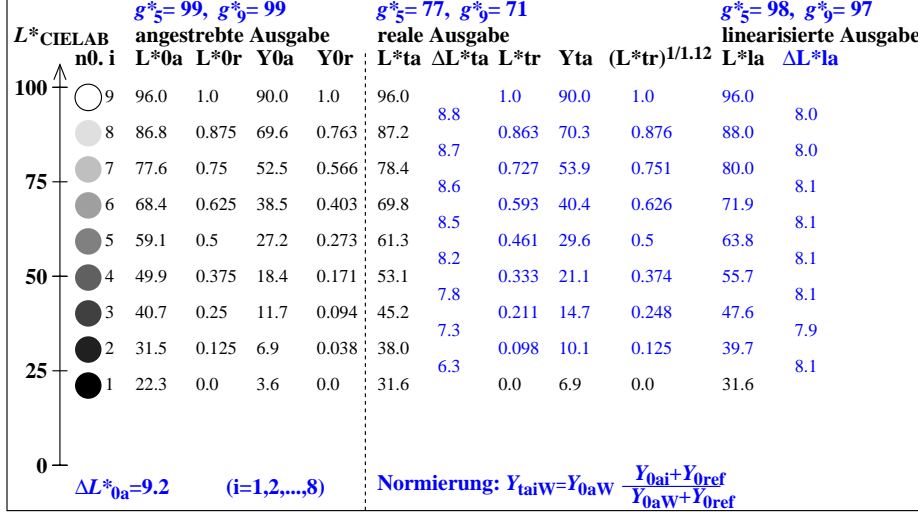


9stufige Grauskalierung zwischen $L^*_{0aN}=22.3$ und $L^*_{0aW}=95.9$, $Y_{0ref}=3.6$, Normierung Weiß W

$L^*_{0aN}=22.3$, $L^*_{0aU}=59.1$, $L^*_{0aW}=96.0$, $Y_{0aN}=3.6$, $Y_{0aU}=27.2$, $Y_{0aW}=90.0$, $C_{0aY}=Y_{0aW}:Y_{0aN}=25.0$
 $L^*_{taN}=31.6$, $L^*_{taU}=61.3$, $L^*_{taW}=96.0$, $Y_{taN}=6.9$, $Y_{taU}=29.6$, $Y_{taW}=90.0$, $C_{taY}=Y_{taW}:Y_{taN}=13.0$

Regularitätsindex nach ISO/IEC 15775:2022, Anhang G für 5 und 9 Stufen

$g^* = 100 [\Delta L^*_{min}] / [\Delta L^*_{max}]$, $L^*_{CIELAB} = 116 [Y/Y_n]^{1/3} - 16$ mit $Y >= 0,882$, $Y_n=100$



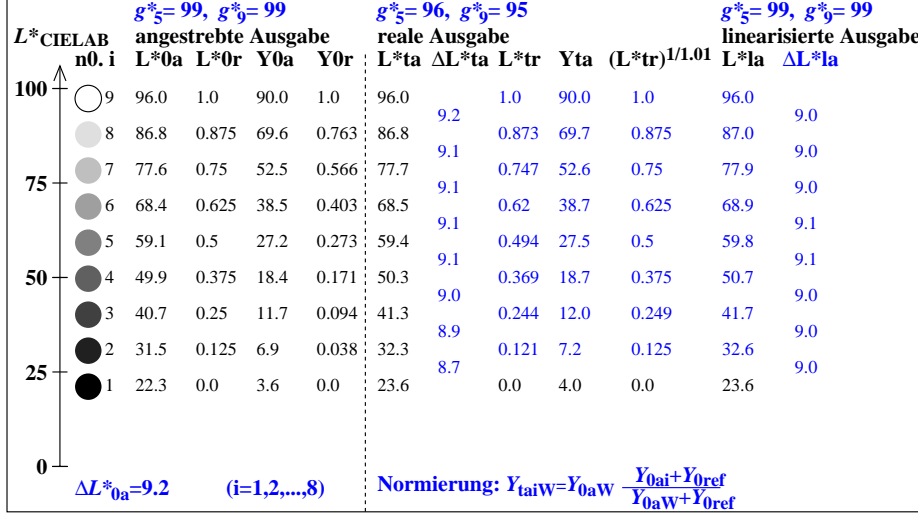
egp00-3n

9stufige Grauskalierung zwischen $L^*_{0aN}=22.3$ und $L^*_{0aW}=95.9$, $Y_{0ref}=0.4$, Normierung Weiß W

$L^*_{0aN}=22.3$, $L^*_{0aU}=59.1$, $L^*_{0aW}=96.0$, $Y_{0aN}=3.6$, $Y_{0aU}=27.2$, $Y_{0aW}=90.0$, $C_{0aY}=Y_{0aW}:Y_{0aN}=25.0$
 $L^*_{taN}=23.6$, $L^*_{taU}=59.4$, $L^*_{taW}=96.0$, $Y_{taN}=4.0$, $Y_{taU}=27.5$, $Y_{taW}=90.0$, $C_{taY}=Y_{taW}:Y_{taN}=22.6$

Regularitätsindex nach ISO/IEC 15775:2022, Anhang G für 5 und 9 Stufen

$g^* = 100 [\Delta L^*_{min}] / [\Delta L^*_{max}]$, $L^*_{CIELAB} = 116 [Y/Y_n]^{1/3} - 16$ mit $Y >= 0,882$, $Y_n=100$



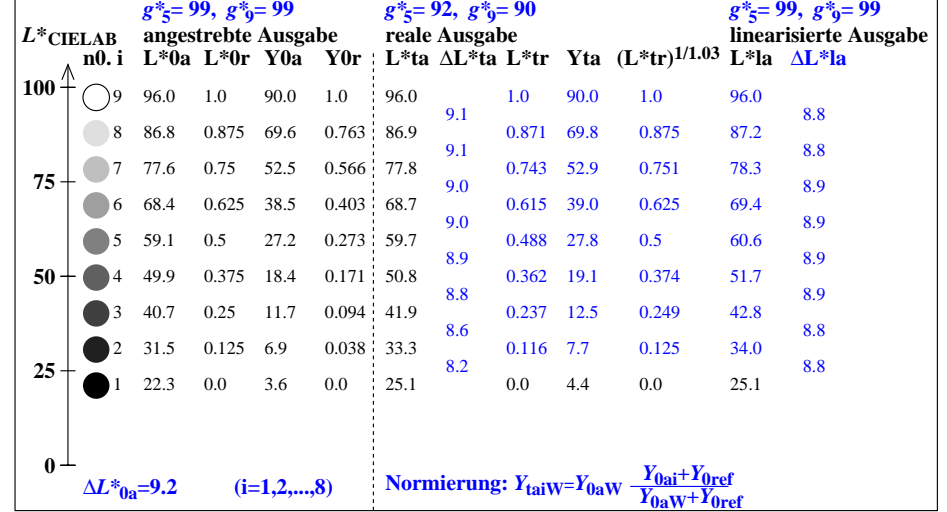
egp00-7n

9stufige Grauskalierung zwischen $L^*_{0aN}=22.3$ und $L^*_{0aW}=95.9$, $Y_{0ref}=0.9$, Normierung Weiß W

$L^*_{0aN}=22.3$, $L^*_{0aU}=59.1$, $L^*_{0aW}=96.0$, $Y_{0aN}=3.6$, $Y_{0aU}=27.2$, $Y_{0aW}=90.0$, $C_{0aY}=Y_{0aW}:Y_{0aN}=25.0$
 $L^*_{taN}=25.1$, $L^*_{taU}=59.7$, $L^*_{taW}=96.0$, $Y_{taN}=4.4$, $Y_{taU}=27.8$, $Y_{taW}=90.0$, $C_{taY}=Y_{taW}:Y_{taN}=20.2$

Regularitätsindex nach ISO/IEC 15775:2022, Anhang G für 5 und 9 Stufen

$g^* = 100 [\Delta L^*_{min}] / [\Delta L^*_{max}]$, $L^*_{CIELAB} = 116 [Y/Y_n]^{1/3} - 16$ mit $Y >= 0,882$, $Y_n=100$



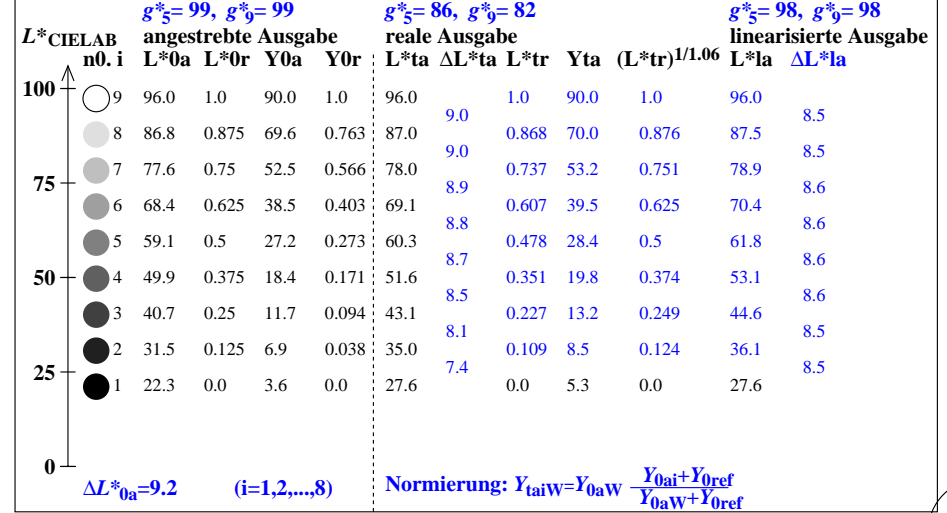
egp01-3n

9stufige Grauskalierung zwischen $L^*_{0aN}=22.3$ und $L^*_{0aW}=95.9$, $Y_{0ref}=1.8$, Normierung Weiß W

$L^*_{0aN}=22.3$, $L^*_{0aU}=59.1$, $L^*_{0aW}=96.0$, $Y_{0aN}=3.6$, $Y_{0aU}=27.2$, $Y_{0aW}=90.0$, $C_{0aY}=Y_{0aW}:Y_{0aN}=25.0$
 $L^*_{taN}=27.6$, $L^*_{taU}=60.3$, $L^*_{taW}=96.0$, $Y_{taN}=5.3$, $Y_{taU}=28.4$, $Y_{taW}=90.0$, $C_{taY}=Y_{taW}:Y_{taN}=17.0$

Regularitätsindex nach ISO/IEC 15775:2022, Anhang G für 5 und 9 Stufen

$g^* = 100 [\Delta L^*_{min}] / [\Delta L^*_{max}]$, $L^*_{CIELAB} = 116 [Y/Y_n]^{1/3} - 16$ mit $Y >= 0,882$, $Y_n=100$



egp01-7n

Siehe ähnliche Dateien der ganzen Serie: http://farbe.li.tu-berlin.de/egps.htm
Technische Information: http://farbe.li.tu-berlin.de oder http://color.li.tu-berlin.de

TUB-Registrierung: 20230701-egp0/egp010np.pdf / .ps
Anwendung für Beurteilung und Messung von Display- oder Druck-Ausgabe
TUB-Material: Code=rh4ta